

POLI e ZERI DI UNA MATRICE DI TRASFERIMENTO

Dato una matrice di trasferimento

$$G(s)$$

1) $p \in \mathbb{C}$ è polo di $G(s)$ se

$\lim_{s \rightarrow p} G(s)$ è una matrice con almeno un elemento $= \infty$

Teorema

Se $G(s) = C(sI - A)^{-1}B + D$ e (A, B) raff.
 (C, A) oss.

Allora

p polo di $G(s) \iff p$ è autovale di A

2) La definizione generale di zero è complessa perché un numero complesso potrebbe essere contemporaneamente polo e zero.

Ci restringiamo agli zeri con non coincidenti con i poli.

Siano $\{p_1 \dots p_k\}$ poli di $G(s)$

Nota che se vogliamo

regg $G(s)$ al valore di $s \in \mathbb{C} - \{p_1 \dots p_k\}$
detti campo normale

questo è un valore intero $\forall k$ quando

tutti i punti $s \in \mathbb{C} - \{p_1 \dots p_k\}$ e forte alcuni punti isolati

$\{z_1 \dots z_f\}$ che sono detti zeri di $G(s)$.

Nota che, se $G(s)$ è quadrato e invertibile (nel senso che lo è per quasi tutti $s \in \mathbb{C}$) allora

$$\text{zeri}(G(s)) = \text{poli}(G^{-1}(s))$$

Dati

Sea $p_1 \dots p_m$ poli di $G(s)$ e n $z = p_i$ zero di $G(s)$. Allora nono $G(z) < n$ e quindi esiste $v \in \mathbb{C}^n$ tale che

$$G(z)v = 0 \quad v \neq 0$$

Andi se
$$\begin{bmatrix} f_1(s) \\ \vdots \\ f_m(s) \end{bmatrix} \stackrel{\Delta}{=} G(s)v$$

allora
$$f_i(s) = f_i(s)(s-z)$$

dove $f_i(s)$ sono razionali senza poli in z .

Allora

$$v = G^{-1}(s)G(s)v = G^{-1}(s) \begin{bmatrix} f_1(s) \\ \vdots \\ f_m(s) \end{bmatrix} (s-z)$$

Perche $v \neq 0$ allora $\exists h$ t.c. $v_h \neq 0$

$$v_h = \sum_i [G^{-1}(s)]_{hi} f_i(s) (s-z)$$

$$\frac{v_h}{s-z} = \sum_i [G^{-1}(s)]_{hi} f_i(s)$$

Perche $f_i(s)$ non hanno poli in z , deve esserci uno delle $[G^{-1}(s)]_{hi}$ con polo in z .

Andrà: zeri $(G(s)) \subseteq$ poli $(G^{-1}(s))$

Dimostrare ora viceversa che zeri $(G) \supseteq$ poli (G^{-1})

Supponiamo che z non è polo di G^{-1} e quindi

$$[G^{-1}(s)]_{ij} = \frac{M_{ij}(s)}{(s-z)^{\mu(i,j)}} \quad \text{dove } \mu(i,j) \text{ molteplicità del polo}$$

e $M_{ij}(s)$ è una funzione razionale tale che $M_{ij}(z) \neq 0, \infty$

Sia $\mu = \max_{i,j} \mu(i,j)$. Allora esistano h, k tali che $\mu(h,k) = \mu$. Sia $N(s) \triangleq (s-z)^\mu G^{-1}(s)$.

$$\text{Nota che } [N(z)]_{hk} = [M(z)]_{hk} + 0$$

$$\text{Allora } \begin{matrix} \rightarrow \\ \left[\begin{matrix} 0 \\ 1 \\ \vdots \\ 0 \end{matrix} \right]_k \end{matrix}$$

$$G(z) \underbrace{N(z) e_k}_v = G(z) v \quad \text{con } v \neq 0$$

Ma

$$G(s) N(s) e_k = G(s) G^{-1}(s) (s-z)^\mu e_k = (s-z)^\mu e_k$$

da cui segue che

$$G(z) v = 0$$

Esempio

$$G(s) = \begin{bmatrix} \frac{s-1}{s+2} & \frac{4}{s+2} \\ \frac{9/2}{s+2} & 2 \frac{s-1}{s+2} \end{bmatrix}$$

1 polo: $p = -2$

Perché $\det G(s) = \frac{2(s-1)^2 - 18}{(s+2)^2} = 2 \frac{s-4}{s+2}$

allora si vede che per $s \neq 4$ $G(s)$ ha rango 2

(che è il rango normale di $G(s)$). Per

$s = 4$ si ha che $\det G(4) = 0$ e quindi

rango $G(4) < 2$ da cui segue che $z = 4$

è una zero di $G(s)$.

Esempio

$$G(s) = \begin{bmatrix} \frac{s-1}{s+1} & 0 \\ 0 & \frac{s+2}{s-1} \end{bmatrix}$$

Il rango normale di $G(s)$ è 2

Per $s = 1, -2$ il rango cala e diventa = 1.

Si noti che $s = 1$ è anche polo.

Esempio

$$G(s) = \begin{bmatrix} \frac{1}{(1+s)(1+0.2s)} & \frac{1}{(1+s)(1+0.2s)} \\ \frac{1+2s}{(1+s)(1+0.2s)} & \frac{2}{(1+s)(1+0.2s)} \end{bmatrix} = \frac{1}{(1+s)(1+0.2s)} \begin{bmatrix} 1 & 1 \\ 1+2s & 2 \end{bmatrix}$$

$$\det G(s) = \frac{1-2s}{(1+s)^2(1+0.2s)^2}$$

poli : $s = \frac{1}{2}$ $s = -5$

$$G\left(\frac{1}{2}\right) = \frac{1}{\frac{3}{2} \frac{11}{10}} \begin{bmatrix} 1 & 1 \\ 2 & 2 \end{bmatrix} \quad G\left(\frac{1}{2}\right) \begin{bmatrix} 1 \\ -1 \end{bmatrix} = 0$$

Se $U(s) = \frac{1}{s} \begin{bmatrix} 1 \\ 0 \end{bmatrix}$

$$Y_1(s) = \frac{1}{(1+s)(1+0.2s)} \frac{1}{s} \quad \begin{array}{c} \uparrow \\ \text{graph} \end{array}$$
$$Y_2(s) = \frac{1+2s}{(1+s)(1+0.2s)} \frac{1}{s} \quad \begin{array}{c} \uparrow \\ \text{graph} \end{array}$$

Se $U(s) = \frac{1}{s} \begin{bmatrix} 0 \\ 1 \end{bmatrix}$

$$Y_1(s) = \frac{1}{(1+s)(1+0.2s)} \frac{1}{s} \quad \begin{array}{c} \uparrow \\ \text{graph} \end{array}$$
$$Y_2(s) = \frac{2}{(1+s)(1+0.2s)} \frac{1}{s} \quad \begin{array}{c} \uparrow \\ \text{graph} \end{array}$$

Se $U(s) = \frac{1}{s} \begin{bmatrix} -1 \\ 1 \end{bmatrix}$

$$Y_1(s) = 0$$
$$Y_2(s) = \frac{1-2s}{(1+s)(1+0.2s)} \frac{1}{s} \quad \begin{array}{c} \uparrow \\ \text{graph} \end{array}$$

Si noti l'undershoot tipico degli zeri a fase non minima.

ZERI IN SPAZIO DI STATO

Lemma Se (A, B, C, D) realizza il minimo di $G(s)$ e $P_1 \dots P_m$ poli di $G(s)$

$z \in \mathbb{C} \setminus \{P_1 \dots P_m\}$ è zero di $G(s) = C(SI - A)^{-1}B + D$



$$\text{rang} \left[\begin{array}{c|c} A - zI & B \\ \hline C & D \end{array} \right] < \text{rang} \left[\begin{array}{c|c} A - sI & B \\ \hline C & D \end{array} \right]$$

$\exists s \in \mathbb{C} \setminus \{P_1 \dots P_m\}$

Cioè la matrice $\begin{bmatrix} A - sI & B \\ C & D \end{bmatrix}$ avrà rango $= n$ per quasi tutti

$s \in \mathbb{C} \setminus \{P_1 \dots P_m\}$.

Dim $\{P_1 \dots P_m\} = \{\text{autovalori di } A\}$

$$\underbrace{\begin{bmatrix} I & 0 \\ C(SI - A)^{-1} & I \end{bmatrix}}_{\text{invertibile}} \begin{bmatrix} A - sI & B \\ C & D \end{bmatrix} = \begin{bmatrix} A - sI & B \\ 0 & C(SI - A)^{-1}B + D \end{bmatrix}$$

$$\text{rang} \begin{bmatrix} A - sI & B \\ C & D \end{bmatrix} = \text{rang} \begin{bmatrix} A - sI & B \\ 0 & G(s) \end{bmatrix} \quad \forall s \in \mathbb{C}$$

$$\forall s \in \mathbb{C} \setminus \{P_1 \dots P_m\} \quad \text{rang}(A - sI) = n$$

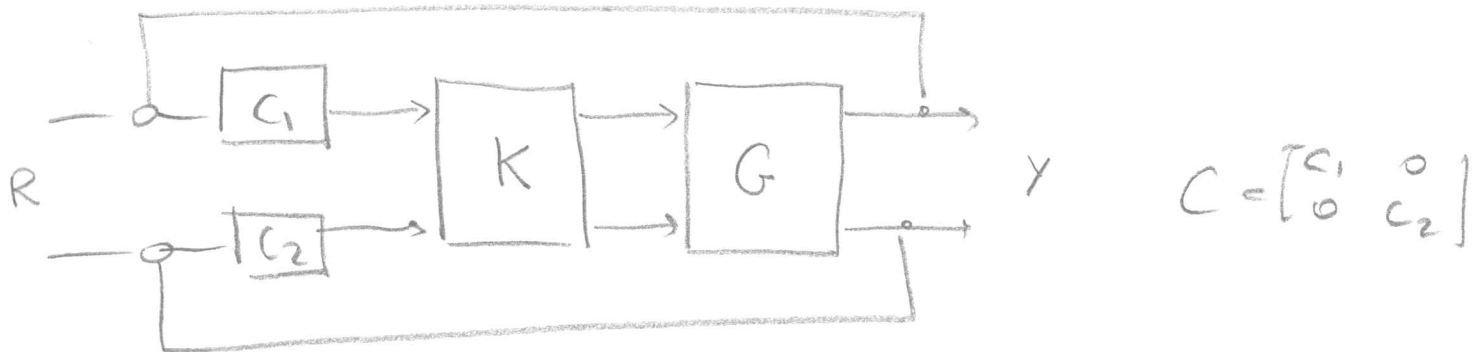
$$\text{quindi} \quad \text{rang} \begin{bmatrix} A - sI & B \\ 0 & G(s) \end{bmatrix} = n + \text{rang} G(s)$$

Resta concludere che $\begin{bmatrix} A - sI & B \\ C & D \end{bmatrix}$ calo di rango se e solo se $G(s)$ calo di rango.

□

DISACCOPIAMENTO

Un modo di procedere quando il controllo decentralizzato non è possibile a causa di una forte accoppiamento tra i vari ingressi e le varie uscite, allora si può cercare di diminuire tali accoppiamenti attraverso un precompensatore



$$Y = G K C [R - Y]$$

$$Y = (I + G K C)^{-1} R$$

Se progettiamo $K(s)$ in modo tale che

$G(s) K(s)$ sia diagonale (o quasi)

Allora potremmo applicare il controllo decentralizzato

$$a \quad \bar{G}(s) = G(s) K(s) = \begin{bmatrix} \bar{G}_1(s) & 0 \\ 0 & \bar{G}_2(s) \end{bmatrix}$$

Quindi

$$K(s) = G(s)^{-1} \bar{G}(s) = \begin{bmatrix} [G^{-1}(s)]_{11} \bar{G}_1(s) & [G^{-1}(s)]_{12} \bar{G}_2(s) \\ [G^{-1}(s)]_{21} \bar{G}_1(s) & [G^{-1}(s)]_{22} \bar{G}_2(s) \end{bmatrix}$$

Per la scelta di $\bar{G}(s)$ si devono conoscere le seguenti vincoli

- 1) $K_{ij}(s) = [G^{-1}(s)]_{ij} \bar{G}_j(s)$ deve essere realizzabile e quindi $\bar{G}_j(s)$ deve avere grado denominatore sufficientemente alto approssimando costanti in fattore tipo $\frac{1}{(s+\lambda)^{\nu}}$
- 2) $K_{ij}(s) = [G^{-1}(s)]_{ij} \bar{G}_j(s)$ deve essere stabile

Nota che

$$\text{poli}(K(s)) \subseteq \text{poli}(G(s)^{-1}) \cup \text{poli}(\bar{G}(s))$$

$$= \text{zeri}(G(s)) \cup \text{poli}(\bar{G}(s))$$

Quindi se $G(s)$ ha zeri instabili, potrebbe sorgere dei problemi. Una semplice soluzione è la seguente: se z è zero instabile di $G(s)$, allora estero z tale che $[G^{-1}(s)]_{ij}$ abbia z come polo. Allora, siccome $K_{ij}(s) = [G^{-1}(s)]_{ij} \bar{G}_j(s)$ deve bastare prendere $\bar{G}_j(s)$ non zero in z

Se $G(s)$ non ha zeri instabili, allora

la matrice di $K(s)$ è più semplice, infatti.

Potremo prendere

$$K(s) = G^{-1}(s) \begin{bmatrix} \frac{1}{(s+a)^{k_1}} & 0 \\ 0 & \frac{1}{(s+a)^{k_2}} \end{bmatrix}$$

Esempi

$$G(s) = \begin{bmatrix} \frac{2}{s+1} & \frac{1}{s+1} \\ \frac{1}{s+1} & \frac{1}{s+1} \end{bmatrix} = \frac{1}{s+1} \begin{bmatrix} 2 & 1 \\ 1 & 1 \end{bmatrix}$$

osservo che

$$\det G(s) = \frac{1}{(s+1)^2} \quad \text{e quindi } G(s) \text{ non ha}$$

zeri finché di numero se z è zero $\Rightarrow \det(G(z)) = 0$.

In effetti $G(z) = \frac{1}{z+1} \begin{bmatrix} 2 & 1 \\ 1 & 1 \end{bmatrix}$ ha sempre rango 2

per ogni $z \neq -1$.

$$G^{-1}(s) = \begin{bmatrix} 2(s+1) & -(s+1) \\ -(s+1) & (s+1) \end{bmatrix}$$

Quindi prendendo $\bar{G}(s) = \begin{bmatrix} \frac{1}{s+10} & 0 \\ 0 & \frac{1}{s+10} \end{bmatrix}$, si ottiene

$$K(s) = \begin{bmatrix} 2 \frac{s+1}{s+10} & -\frac{s+1}{s+10} \\ -\frac{s+1}{s+10} & \frac{s+1}{s+10} \end{bmatrix}$$

Esempio

$$G(s) = \begin{bmatrix} \frac{1}{s+1} & \frac{2}{s+3} \\ \frac{1}{s+1} & \frac{1}{s+1} \end{bmatrix}$$

$$\text{osservo che } \det G(s) = \frac{1}{(s+1)^2} - \frac{2}{(s+1)(s+3)} = \frac{s+3-2-2}{(s+1)^2(s+3)} \\ = \frac{s-1}{(s+1)^2(s+3)}$$

Quindi $z = 1$ è zero instabile. In effetti,

$$G(1) = \begin{bmatrix} \frac{1}{2} & \frac{1}{2} \\ \frac{1}{2} & \frac{1}{2} \end{bmatrix} \quad \text{che ha rango 1.}$$

$$G^{-1}(s) = \frac{1}{\det(G(s))} \begin{bmatrix} \frac{1}{s+1} & -\frac{2}{s+3} \\ -\frac{1}{s+1} & \frac{1}{s+1} \end{bmatrix} = \frac{(s+1)^2(s+3)}{s-1} \begin{bmatrix} \frac{1}{s+1} & -\frac{2}{s+3} \\ -\frac{1}{s+1} & \frac{1}{s+1} \end{bmatrix} \\ = \begin{bmatrix} \frac{(s+1)(s+3)}{s-1} & +2\frac{(s+1)^2}{s-1} \\ +\frac{(s+1)(s+3)}{s-1} & -\frac{(s+1)(s+3)}{s-1} \end{bmatrix}$$

$$G^{-1}(s) \bar{G}(s) = \begin{bmatrix} \frac{(s+1)(s+3)}{s-1} \bar{G}_1(s) & +2\frac{(s+1)^2}{s-1} \bar{G}_2(s) \\ +\frac{(s+1)(s+3)}{s-1} \bar{G}_1(s) & -\frac{(s+1)(s+3)}{s-1} \bar{G}_2(s) \end{bmatrix}$$

Conviene prendere

$$\bar{G}_1(s) = \bar{G}_2(s) = \frac{s-1}{(s+1)^2} \Rightarrow K(s) = \begin{bmatrix} \frac{(s+1)(s+3)}{(s+1)^2} & +2\frac{(s+1)^2}{(s+1)^2} \\ +\frac{(s+1)(s+3)}{(s+1)^2} & -\frac{(s+1)(s+3)}{(s+1)^2} \end{bmatrix}$$

Con questo soluzione, allo fine $C_1(s)$ e $C_2(s)$ devono essere progettati per controllare due funzioni di trasferimento, entrambe a fase non minima.

Nota che, prendendo

$$K(s) = \begin{bmatrix} -1 & 1 \\ 1 & 1 \end{bmatrix}$$

Allora

$$G(s)K(s) = \begin{bmatrix} \frac{s-1}{(s+1)(s+3)} & \frac{3s+5}{(s+1)(s+3)} \\ 0 & \frac{2}{s+1} \end{bmatrix}$$

Andi si nota che con questo semplice compensatore si riesce solo a trasferire $G(s)$ ma col vantaggio di trovare nel secondo loop di controllo una funzione di trasferimento da controllare priva di zeri instabili.

VARIANTI

1. DISACCOUPLIAMENTO STATICO

In questo caso si vuole $K(s) = K_0 \in \mathbb{R}^{2 \times 2}$ statico tale che

$$G(s)K \Big|_{s=0} \text{ sia diagonale.}$$

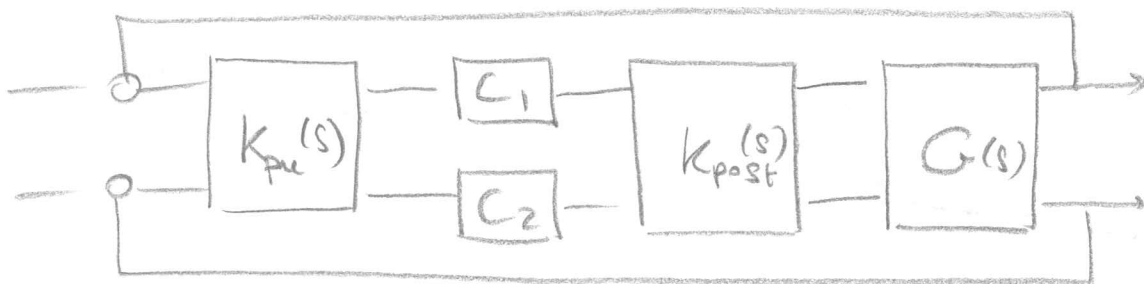
Ad esempio si può prendere $K = G(0)^{-1}$ se $G(0)$ è invertibile.

2. DISACCOUPLIAMENTO CON PRE e POST COMPENSATORI

In questo caso si scelgono $K_{pre}(s)$ e $K_{post}(s)$ tali che

$$K_{pre}(s) G(s) K_{post}(s) = \bar{G}(s) \text{ diagonale}$$

Allora, attraverso lo schema



si ha che

$$Y(s) = G(s) K_{post}(s) \overbrace{\begin{bmatrix} C_1(s) & 0 \\ 0 & C_2(s) \end{bmatrix}}^{C(s)} K_{pre}(s) \{ R(s) - Y(s) \}$$

$$Y(s) = (I + G K_{post} C K_{pre}) R(s) =$$

Moltiplicando ambo i membri e sommando per k_{pre}
e definendo $\tilde{R} = k_{pre} R$ $\tilde{Y} = k_{pre} Y$ si ottiene

$$\begin{aligned}\tilde{Y} &= k_{pre} (I + G k_{post} C k_{pre})^{-1} R \\ &= (I + k_{pre} G k_{post} C)^{-1} \tilde{R} \\ &= (I + \bar{G} C)^{-1} \tilde{R} = \begin{bmatrix} \frac{1}{1 + \bar{G}_1 C_1} & 0 \\ 0 & \frac{1}{1 + \bar{G}_2 C_2} \end{bmatrix}\end{aligned}$$

Un caso particolare di questo schema è
lo cosiddetto SVD controller.

Si prende una frequenza ω_0 (ad esempio $\omega_0 = 0$)
di interesse e si considera lo SVD di $G(j\omega_0)$

$$G(j\omega_0) = U \Sigma V^H$$

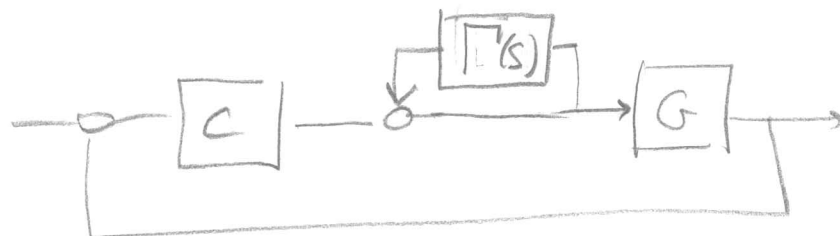
Si prende allora

$$k_{pre}(s) = U \quad \text{e} \quad k_{post}(s) = V^H$$

Si dimostra che questo schema fatto in certi
casi ad ottenere il controller "migliore".

3. Disaccoppiamento all'indietro

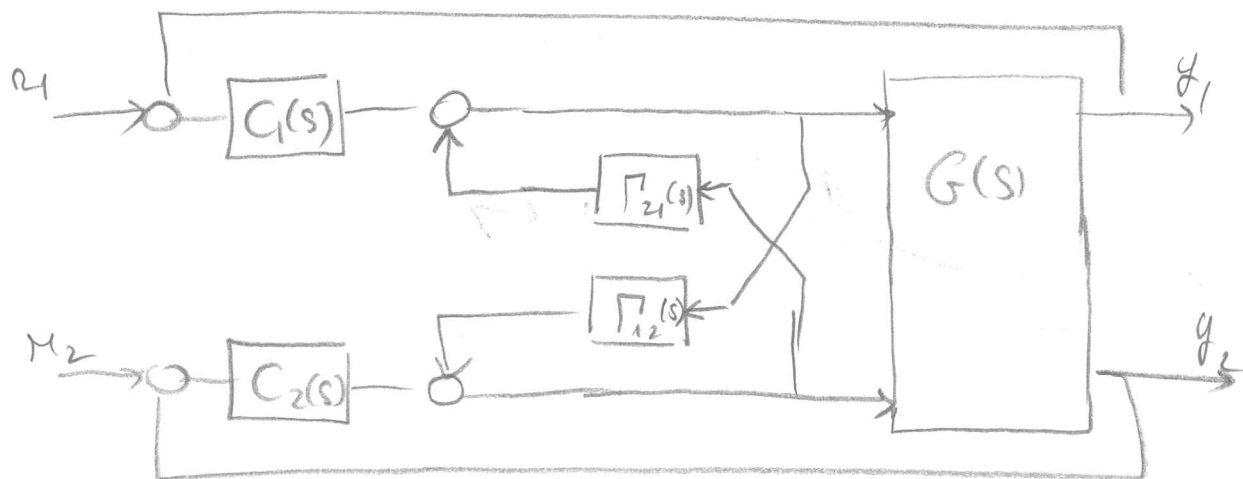
In questo schema vi è un compensatore con la seguente struttura



dove $\Gamma(s) = \begin{bmatrix} \Gamma_{11}(s) & \Gamma_{12}(s) \\ \Gamma_{21}(s) & \Gamma_{22}(s) \end{bmatrix}$

Nel caso particolare di $\Gamma(s) = \begin{bmatrix} 0 & \Gamma_{12}(s) \\ \Gamma_{21}(s) & 0 \end{bmatrix}$

lo schema precedente è equivalente al seguente



Con questo schema, se vogliamo rendere disponibile il sistema al controllore si deve trovare $\Gamma(s)$ tale che

$$G(s) (I - \Gamma(s))^{-1} = \bar{G}(s)$$

$$\Gamma(s) = I + \bar{G}(s)^{-1} G(s)$$

Esempio $G(s) = \begin{bmatrix} \frac{1}{s+1} & \frac{2}{s+3} \\ \frac{1}{s+1} & \frac{1}{s+1} \end{bmatrix}$

Esempio: Serbatoio di miscelazione

A = area sezione serbatoio

F, F_H, F_C = flussi (m^3/min)

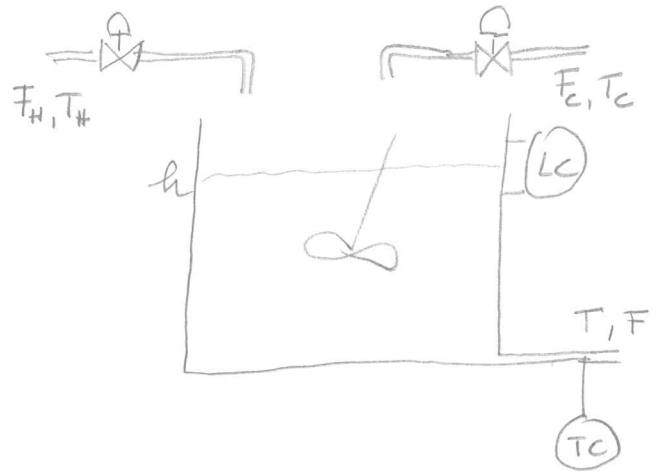
T, T_H, T_C = temperature ($^{\circ}C$)

h = livello liquido (metri)

$T_H = 60^{\circ}C$

$T_C = 10^{\circ}C$

$A = 0,581 m^2$



$F = \beta \sqrt{h}$ (perché la pressione alla base è indipendente o h e il flusso è indipendente alla radice della pressione)

$$\beta = 53,9 \frac{\text{litri/min}}{\sqrt{\text{metri}}} = 0,0539 \frac{m^3/min}{\sqrt{m}}$$

$V = \text{volume } (m^3) \quad V = hA$

$$\frac{dV}{dt} = F_H + F_C - F$$

$$\boxed{\frac{dh}{dt} = -\frac{\beta}{A} \sqrt{h} + \frac{F_H}{A} + \frac{F_C}{A}}$$

$$\frac{d}{dt} \left(\underbrace{c_p \rho V T}_{\text{entalpia totale}} \right) = \cancel{c_p \rho F_H T_H} + \cancel{c_p \rho F_C T_C} - \cancel{c_p \rho F T}$$

$$\frac{d}{dt} (h T) = \frac{F_H T_H}{A} + \frac{F_C T_C}{A} - \frac{F T}{A}$$

$$h \frac{dT}{dt} + T \frac{dh}{dt} = h \frac{dT}{dt} + T \left[-\frac{F}{A} + \frac{F_H}{A} + \frac{F_C}{A} \right]$$

$$\frac{dT}{dt} = \frac{F_H T_H}{Ah} + \frac{F_C T_C}{Ah} - \frac{F T}{Ah} - \frac{F_C T}{Ah}$$

Lineare non lineare

$$\frac{d\tilde{h}}{dt} = -\frac{\beta}{A} \frac{1}{2\sqrt{\tilde{h}}} \tilde{h} + \frac{\tilde{F}_H}{A} + \frac{\tilde{F}_C}{A}$$

$$\frac{d\tilde{T}}{dt} = -\frac{\bar{F}_H + \bar{F}_C}{A\bar{h}} \tilde{T} - \left[-(\bar{F}_H + \bar{F}_C)\bar{T} + \bar{F}_H T_H + \bar{F}_C T_C \right] \frac{1}{A\bar{h}^2} \tilde{h} + \frac{T_H - \bar{T}}{A\bar{h}} \tilde{F}_H + \frac{T_C - \bar{T}}{A\bar{h}} \tilde{F}_C$$

$$A = \left[\begin{array}{c|c} -\frac{\beta}{A} \frac{1}{2\sqrt{\tilde{h}}} & 0 \\ \hline \frac{\bar{F}_H(\bar{T} - T_H) + \bar{F}_C(\bar{T} - T_C)}{A\bar{h}^2} & -\frac{\bar{F}_H + \bar{F}_C}{A\bar{h}} \end{array} \right] \quad B = \left[\begin{array}{c|c} \frac{1}{A} & \frac{1}{A} \\ \hline \frac{T_H - \bar{T}}{A\bar{h}} & \frac{T_C - \bar{T}}{A\bar{h}} \end{array} \right]$$

$$C = \begin{bmatrix} 1 & 0 \\ 0 & 1 \end{bmatrix}$$

Nota che $\bar{F}_H(\bar{T} - T_H) + \bar{F}_C(\bar{T} - T_C) = (\bar{F}_H + \bar{F}_C)\bar{T} - \bar{F}_H T_H - \bar{F}_C T_C = 0$

Quindi:

$$A = \left[\begin{array}{c|c} -0,05 & 0 \\ \hline 0 & -0,1 \end{array} \right] \quad B = \left[\begin{array}{c|c} 1,72 & 1,72 \\ \hline 50 & -50 \end{array} \right]$$

$$G(s) = \begin{bmatrix} \frac{1,72}{s+0,05} & \frac{1,72}{s+0,05} \\ \frac{50}{s+0,1} & \frac{-50}{s+0,1} \end{bmatrix} = \begin{bmatrix} \frac{34,4}{1+20s} & \frac{34,4}{1+20s} \\ \frac{500}{1+10s} & \frac{-500}{1+10s} \end{bmatrix}$$

Uguali sono espressi in m^3/minuto

$$\begin{bmatrix} \tilde{F}_H \\ \tilde{F}_C \end{bmatrix} \frac{m^3}{\text{min}} = \begin{bmatrix} \frac{1}{1000} & 0 \\ 0 & \frac{1}{1000} \end{bmatrix} \begin{bmatrix} \tilde{F}_H \\ \tilde{F}_C \end{bmatrix} \frac{\text{litri}}{\text{min}} \quad Y(s) = G(s) \begin{bmatrix} \tilde{F}_H \\ \tilde{F}_C \end{bmatrix} \frac{m^3}{\text{min}} = \frac{G(s)}{1000} \begin{bmatrix} \tilde{F}_H \\ \tilde{F}_C \end{bmatrix} \frac{\text{litri}}{\text{min}}$$

$$G(0) = \begin{bmatrix} 34,4 & 34,4 \\ 500 & -500 \end{bmatrix}$$

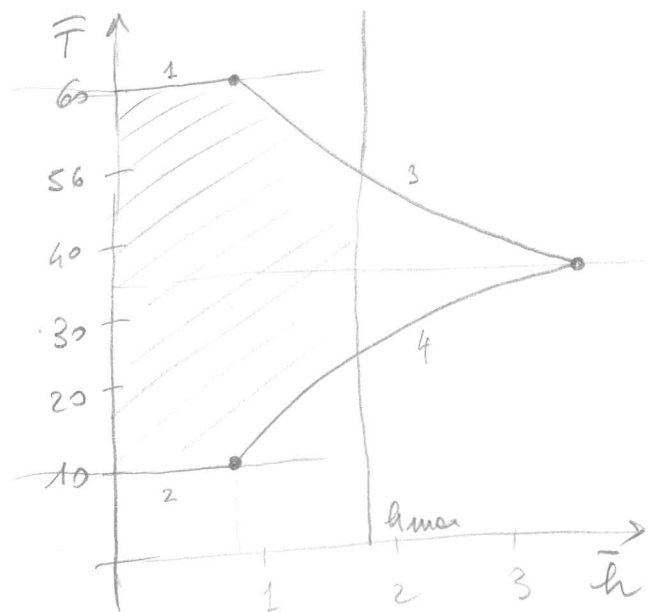
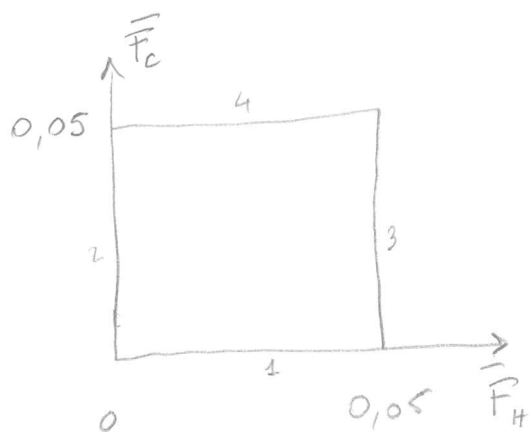
$$RGA = \begin{bmatrix} 1/2 & 1/2 \\ 1/2 & 1/2 \end{bmatrix}$$

Meta che, se $\bar{F}_H, \bar{F}_C \in [0, 0,05]$ m³/minuto
 allora possiamo determinare quali valori possono assumere

\bar{h} e \bar{T} con le formule

$$\bar{h} = \left(\frac{\bar{F}_H + \bar{F}_C}{\beta} \right)^2$$

$$\bar{T} = \frac{T_H \bar{F}_H + T_C \bar{F}_C}{\bar{F}_H + \bar{F}_C}$$



Si consideri che il serbatoio lo si ottiene massimo
 che nell'esempio vale $h_{max} = 1,72$ m

Supponendo di voler ottenere $\bar{h} = 986$ m $\bar{T} = 35$ °C

Allora si ottiene $\bar{F}_C = \bar{F}_H = 0,025$

↳ che è la metà
 dell'alteno total
 del serbatoio
 $h_{max} = 1,72$ m

SCALATURA

Supponiamo che i due input $F_c, F_H \in [0, 0.05]$

con valore nominale $\bar{F}_c = \bar{F}_H = 0.025$, Allora

$$\tilde{F}_c = F_c - \bar{F}_c \in [-0.025, 0.025]$$

$$\tilde{F}_H = F_H - \bar{F}_H \in [-0.025, 0.025]$$

Convertire scalare dividendo entrambe per 0,025

$$u_1 \triangleq \frac{\tilde{F}_H}{0.025} \quad u_2 \triangleq \frac{\tilde{F}_c}{0.025} \quad u_1, u_2 \in [-1, 1]$$

Il nostro obiettivo è che il livello $h \in [0.34, 1.37]$

che consenta a $\tilde{h} \pm 60\%$

$$\text{Quindi } \tilde{h} \in [-0.516, +0.516]$$

Convertire scalare \tilde{h} dividendo per 0,516 m

$$y_1 = \frac{\tilde{h}}{0.516} \quad y_1 \in [-1, 1]$$

Intime T petro andare dal $T_H = 10$ allo $T_H = 60$

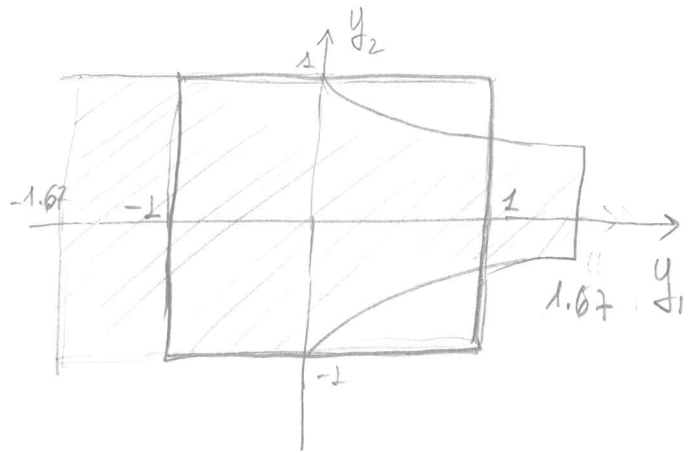
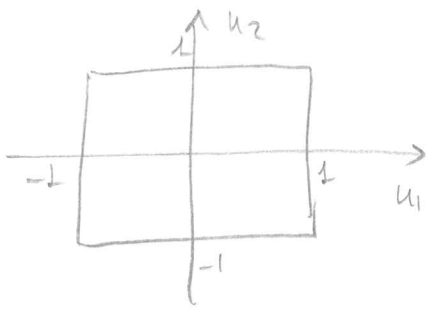
così $T \in [10, 60]$. Quindi convertire dividendo per 25

$$y_2 = \frac{\tilde{T}}{25} = \frac{T - \bar{T}}{25} = \frac{T - 35}{25} \quad \text{un modo che } y_2 \in [-1, 1]$$

$$\begin{bmatrix} y_1 \\ y_2 \end{bmatrix} = \begin{bmatrix} \frac{1}{0.516} & 0 \\ 0 & \frac{1}{25} \end{bmatrix} \begin{bmatrix} \tilde{h} \\ \tilde{T} \end{bmatrix} = \begin{bmatrix} \frac{1}{0.516} & 0 \\ 0 & \frac{1}{25} \end{bmatrix} G(s) \begin{bmatrix} \tilde{F}_H \\ \tilde{F}_c \end{bmatrix}$$

$$= \begin{bmatrix} \frac{1}{0.516} & 0 \\ 0 & \frac{1}{25} \end{bmatrix} G(s) \begin{bmatrix} 0.025 & 0 \\ 0 & 0.025 \end{bmatrix} = \begin{bmatrix} \frac{1.67}{1+20s} & \frac{1.67}{1+20s} \\ \frac{0.5}{1+10s} & \frac{-0.5}{1+10s} \end{bmatrix}$$

Dato lo scollature si ha da



$$\text{Se } h=0 \quad y_1 = \frac{0 - \bar{h}}{0.516} = \frac{-0.86}{0.516} = -\frac{10}{6} = -1.67$$

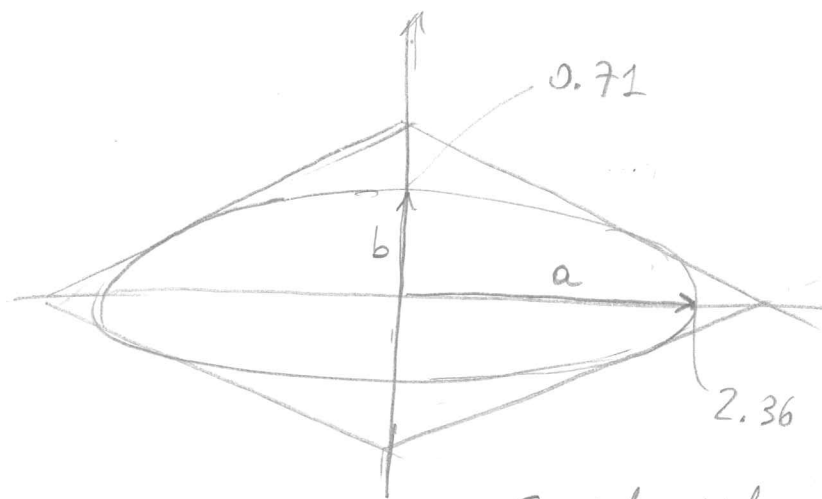
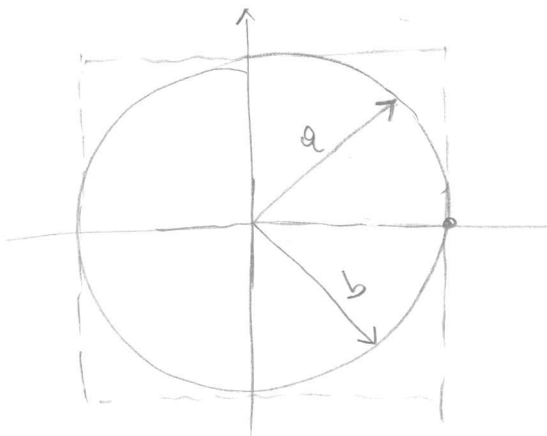
$$h = h_{\max} = 1.72 \quad y_1 = 1.67$$

Vogliamo analizzare ora il problema statico dopo la scollatura

$$G(0) = \begin{bmatrix} 1.67 & 1.67 \\ 0.5 & -0.5 \end{bmatrix}$$



Vediamo $G(0)$ come mappa da \mathbb{R}^2 a \mathbb{R}^2



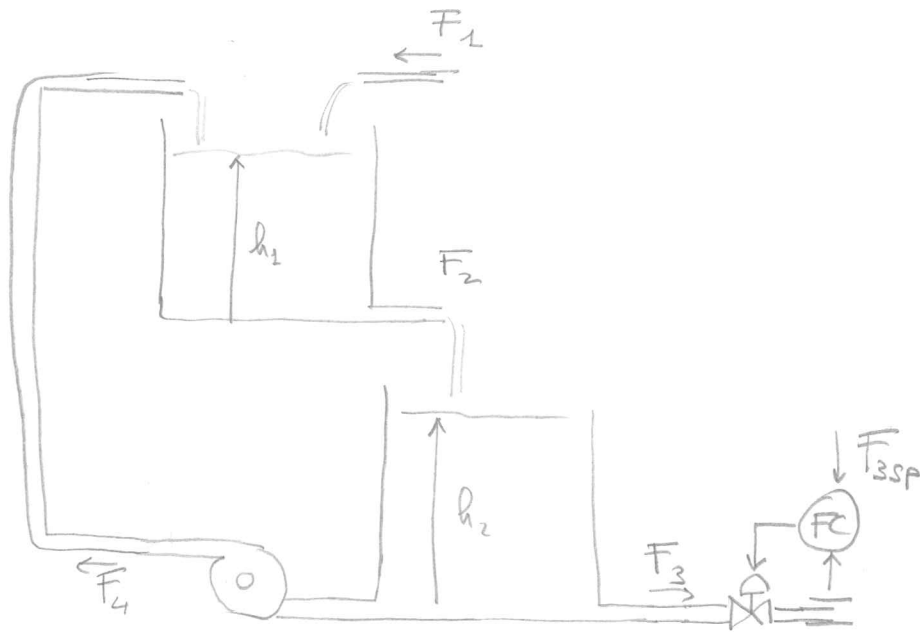
$$G(0) \begin{bmatrix} 1/\sqrt{2} \\ 1/\sqrt{2} \end{bmatrix} = \frac{3.34}{\sqrt{2}} \begin{bmatrix} 1 \\ 0 \end{bmatrix} = 2.36 \begin{bmatrix} 1 \\ 0 \end{bmatrix}$$

$$G(0) \begin{bmatrix} 1/\sqrt{2} \\ -1/\sqrt{2} \end{bmatrix} = \frac{1}{\sqrt{2}} \begin{bmatrix} 0 \\ 1 \end{bmatrix} = 0.71 \begin{bmatrix} 0 \\ 1 \end{bmatrix}$$

Singular Value decomposition

$$G(0) \begin{bmatrix} 1/\sqrt{2} & 1/\sqrt{2} \\ 1/\sqrt{2} & -1/\sqrt{2} \end{bmatrix} = \begin{bmatrix} 2.36 & 0 \\ 0 & 0.71 \end{bmatrix} \begin{bmatrix} 1 & 0 \\ 0 & 1 \end{bmatrix}$$

Esempio DOPPIO TANK



F_{3sp}
 flusso normale uguale al set point del controllore di flusso

$$A_1 \rho \frac{d}{dt} h_1 = \rho [F_1 + F_4 - F_2]$$

$$A_2 \rho \frac{d}{dt} h_2 = \rho [F_2 - F_4 - F_3]$$

$$F_2(t) = k \sqrt{h_1(t)}$$

$F_3(t)$ disturbo

$F_1(t)$ e $F_4(t)$ imperturbati

$$\begin{cases} \dot{h}_1 = \frac{1}{A_1} [-k \sqrt{h_1} + F_4 + F_1] \\ \dot{h}_2 = \frac{1}{A_2} [k \sqrt{h_1} - F_4 - F_3] \end{cases}$$

$$F_3(t) = \bar{F}_3 + \tilde{F}_3(t) \quad F_2(t) = \bar{F}_2 + \hat{F}_2(t) \quad F_4(t) = \bar{F}_4 + \hat{F}_4(t)$$

$$h_1(t) = \bar{h}_1 + \tilde{h}_1(t) \quad h_2(t) = \bar{h}_2 + \hat{h}_2(t)$$

\bar{F}_3 noto valore normale del disturbo $\cong F_{3sp}$

$$\begin{cases} 0 = \frac{1}{A_1} [-k \sqrt{\bar{h}_1} + \bar{F}_4 + \bar{F}_1] \\ 0 = \frac{1}{A_2} [k \sqrt{\bar{h}_1} - \bar{F}_4 - \bar{F}_3] \end{cases}$$

$$\begin{cases} \bar{h}_1 = \left(\frac{\bar{F}_1 + \bar{F}_4}{k} \right)^2 \\ \bar{h}_2 = \left(\frac{\bar{F}_3 + \bar{F}_4}{k} \right)^2 \end{cases}$$

Noti i valori nominali di \bar{h}_1 e \bar{h}_2 che voglio ottenere
mi ottiene

$$\begin{cases} \bar{F}_4 = k\sqrt{\bar{h}_1} - \bar{F}_3 \\ \bar{F}_2 = k\sqrt{\bar{h}_1} - \bar{F}_4 = k\sqrt{\bar{h}_1} - k\sqrt{\bar{h}_1} + \bar{F}_3 \end{cases} \quad \begin{cases} \bar{F}_4 = k\sqrt{\bar{h}_1} - \bar{F}_3 \\ \bar{F}_1 = \bar{F}_3 \end{cases}$$

Così mi ottengo i comandi nominali \bar{F}_2 e \bar{F}_4
a partire dal disturbo nominale e dai livelli nominali
 \bar{h}_1 e \bar{h}_2

Se $F_1(t) = \bar{F}_1$ e $h_2(0) = \bar{h}_2$ e $h_2(t) = \bar{h}_2$, allora
 $h_1(t) = \bar{h}_1 \quad \forall t \quad h_2(t) = \bar{h}_2 \quad \forall t$

Linearizzazione

$$\dot{\tilde{h}}_1 = \frac{1}{A_1} \left[-\frac{k}{2\sqrt{\bar{h}_1}} \tilde{h}_2 + \tilde{F}_1 + \tilde{F}_4 \right]$$

$$\dot{\tilde{h}}_2 = \frac{1}{A_2} \left[+\frac{k}{2\sqrt{\bar{h}_1}} \tilde{h}_1 - \tilde{F}_4 - \tilde{F}_3 \right]$$

$$y = x$$

$$x = \begin{bmatrix} \tilde{h}_1 \\ \tilde{h}_2 \end{bmatrix}$$

$$u = \begin{bmatrix} \tilde{F}_2 \\ \tilde{F}_4 \end{bmatrix}$$

$$d = \tilde{F}_3$$

$$\dot{X} = \begin{bmatrix} -\frac{k}{2\sqrt{\bar{h}_1}} & 0 \\ \frac{k}{2\sqrt{\bar{h}_1}} & 0 \end{bmatrix} X + \begin{bmatrix} 1 & 1 \\ 0 & -1 \end{bmatrix} u + \begin{bmatrix} 0 \\ -1 \end{bmatrix} d$$

$$Y = \begin{bmatrix} 1 & 0 \\ 0 & 1 \end{bmatrix} X$$

Supponiamo che $\alpha \triangleq \frac{k}{2\sqrt{B_1}}$

$$\dot{x} = \begin{bmatrix} -\alpha & 0 \\ \alpha & 0 \end{bmatrix} x + \begin{bmatrix} 1 & 1 \\ 0 & -1 \end{bmatrix} u + \begin{bmatrix} 0 \\ -1 \end{bmatrix} d$$

$$y = \begin{bmatrix} 1 & 0 \\ 0 & 1 \end{bmatrix} x$$

$$G(s) = C(sI - A)^{-1}B = \begin{bmatrix} s + \alpha & 0 \\ -\alpha & s \end{bmatrix}^{-1} \begin{bmatrix} 1 & 1 \\ 0 & -1 \end{bmatrix}$$

$$= \begin{bmatrix} \frac{1}{s + \alpha} & 0 \\ \frac{\alpha}{s(s + \alpha)} & \frac{1}{s} \end{bmatrix} \begin{bmatrix} 1 & 1 \\ 0 & -1 \end{bmatrix} = \begin{bmatrix} \frac{1}{s + \alpha} & \frac{1}{s + \alpha} \\ \frac{\alpha}{s(s + \alpha)} & -\frac{1}{s + \alpha} \end{bmatrix}$$

$$G(0) = \begin{bmatrix} \frac{1}{\alpha} & \frac{1}{\alpha} \\ \alpha & -\frac{1}{\alpha} \end{bmatrix} \quad \frac{1}{s + \alpha} \begin{bmatrix} 1 & 1 \\ \alpha & -1 \end{bmatrix}$$

non possiamo applicare RGA kich $G(s)$ lo 1 polo origine

poli $(G(s)) = \{0, -\alpha\}$

$$\det G(s) = \frac{-s - \alpha}{s(s + \alpha)^2} = -\frac{1}{s(s + \alpha)}$$

zeri $(G(s)) =$

$$G^{-1}(s) = -s(s + \alpha) \begin{bmatrix} -\frac{1}{s + \alpha} & -\frac{1}{s + \alpha} \\ \frac{\alpha}{s(s + \alpha)} & \frac{1}{s + \alpha} \end{bmatrix} = \begin{bmatrix} s & s \\ \alpha & -s \end{bmatrix}$$

$$Y_1 = \frac{1}{s + \alpha} u_1 + \frac{1}{s + \alpha} u_2$$

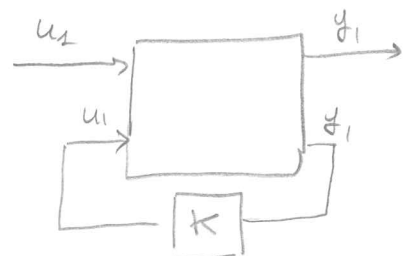
$$Y_2 = \frac{\alpha}{s(s + \alpha)} u_1 + \frac{1}{s + \alpha} u_2$$

$$u_2 = k y_2$$

$$y_2 = \frac{\alpha}{s(s + \alpha)} u_1 + \frac{k}{s + \alpha} y_2 \Rightarrow y_2 = \frac{\alpha}{s(s + \alpha + k)} u_1$$

$$y_2 = \left[\frac{1}{s + \alpha} + \frac{k}{s + \alpha} \frac{\alpha}{s(s + \alpha + k)} \right] u_1$$

$$\hat{G}_{11}(s) = \frac{1}{s + \alpha} + \frac{\alpha k}{(s + \alpha)(s + \alpha + k)s}$$



$k = 0 \quad \hat{G}_{11} = \frac{1}{s + \alpha}$ Grande
 $k = \infty \quad \hat{G}_{11} = \frac{1}{s}$ vanouone

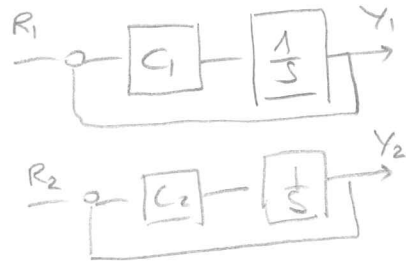
$$K(s) = G^{-1}(s) \bar{G}(s) = \begin{bmatrix} s\bar{G}_1 & s\bar{G}_2 \\ \alpha\bar{G}_1 & -s\bar{G}_2 \end{bmatrix}$$

Scopiamo $\bar{G}_1 = \bar{G}_2 = \frac{1}{s}$

$$K(s) = \begin{bmatrix} 1 & 1 \\ \frac{\alpha}{s} & -1 \end{bmatrix}$$

Con questo precompensatore, dovremo poi controllare il sistema scalare $\frac{1}{s}$

Se $C_1 = K_1$ $W_{R_1 Y_1}(s) = \frac{K_1}{s+K_1}$



Disaccoppiamento all'indietro

$$\Gamma(s) = I + \begin{bmatrix} 1/\bar{G}_1 & 0 \\ 0 & 1/\bar{G}_2 \end{bmatrix} \begin{bmatrix} \frac{1}{s+d} & \frac{1}{s+d} \\ \frac{\alpha}{s(s+d)} & -\frac{1}{s+d} \end{bmatrix}$$

Se $\bar{G}_1 = \frac{1}{s+d}$ $\bar{G}_2 = \frac{1}{s+d}$

$$\Gamma(s) = I + \begin{bmatrix} 1 & 1 \\ \frac{\alpha}{s} & -1 \end{bmatrix} = \begin{bmatrix} 2 & 1 \\ \frac{\alpha}{s} & 0 \end{bmatrix}$$

QUADRUPLE TANK (Bequette pag 423+451)

Abbiamo 4 serbatoi

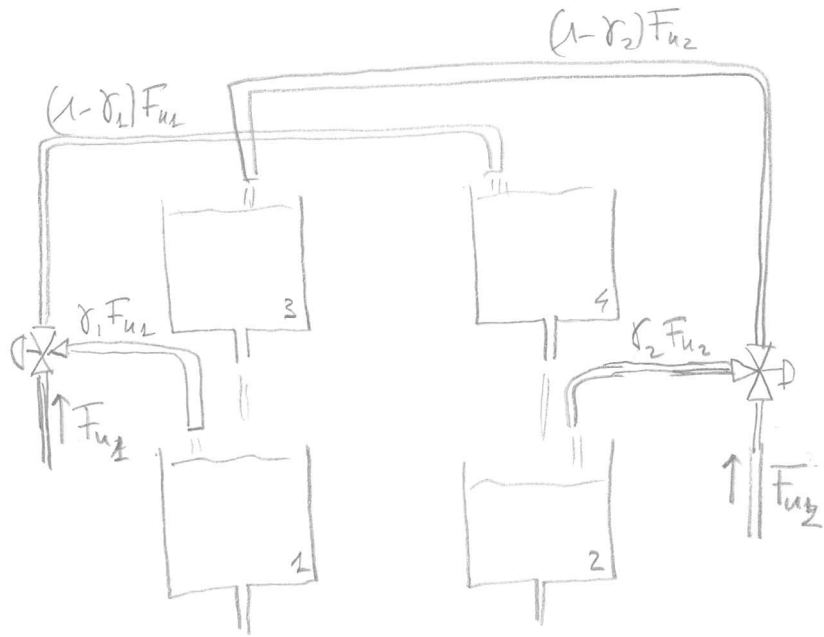
A_i sezioni

$$\frac{dV_1}{dt} = -F_1 + F_3 + r_1 F_{u2}$$

$$\frac{dV_2}{dt} = -F_2 + F_4 + r_2 F_{u2}$$

$$\frac{dV_3}{dt} = -F_3 + (1-r_2)F_{u2}$$

$$\frac{dV_4}{dt} = -F_4 + (1-r_1)F_{u2}$$



$$F_i = a_i \sqrt{2g h_i} \quad \text{dove } a_i \text{ e } g \text{ costanti}$$

$$= f_i \sqrt{h_i} \quad f_i = a_i \sqrt{2g}$$

$$F_{u1} = k_1 \sqrt{v_1} \quad F_{u2} = k_2 \sqrt{v_2} \quad v_i \text{ tensioni applicate all'elettrovalvola}$$

Nota che $V_i = A_i h_i$. Quindi

$$\frac{dh_1}{dt} = -\frac{f_1}{A_1} \sqrt{h_1} + \frac{f_3}{A_1} \sqrt{h_3} + \frac{r_1 k_1}{A_1} \sqrt{v_1}$$

$$\frac{dh_2}{dt} = -\frac{f_2}{A_2} \sqrt{h_2} + \frac{f_4}{A_2} \sqrt{h_4} + \frac{r_2 k_2}{A_2} \sqrt{v_2}$$

$$\frac{dh_3}{dt} = -\frac{f_3}{A_3} \sqrt{h_3} + \frac{(1-r_2)k_2}{A_3} \sqrt{v_2}$$

$$\frac{dh_4}{dt} = -\frac{f_4}{A_4} \sqrt{h_4} + \frac{(1-r_1)k_1}{A_4} \sqrt{v_1}$$

uscite

$$g_1 = k_c h_1$$

$$g_2 = k_c h_2$$

1 Introduzione

1.1 Descrizione del processo

Il sistema di figura (1) è composto da quattro serbatoi, ciascuno con un foro sul fondo, disposti su due colonne. Due pompe erogano le portate volumetriche k_1v_1 e k_2v_2 , che a loro volta vengono suddivise in due parti da valvole a due vie. La frazione di flusso che entra nel serbatoio inferiore è data da $\gamma_i k_i v_i$, e $(1 - \gamma_i) k_i v_i$ è la frazione di flusso che va nel serbatoio superiore.

Si indica con h_i , $i = 1, \dots, 4$ il livello del liquido nei serbatoi, con A_i la loro sezione e con a_i la sezione del rispettivo foro. Un sensore per ciascuno dei due serbatoi inferiori misura il livello del liquido in essi, fornendo in uscita la variabile misurabile: $y_i = k_c h_i$, $i = 1, 2$. Gli ingressi di controllo del sistema sono le tensioni v_1 , v_2 applicate alle pompe.

Vengono forniti dal testo del problema i parametri relativi a due punti di equilibrio, chiamati H_- e H^+ . Dopo aver calcolato le equazioni dinamiche del sistema si calcoleranno gli stati di equilibrio \mathbf{h}_- e \mathbf{h}_+ . Si proseguirà linearizzando il sistema attorno ai due punti H_- e H^+ , per poi progettare, sul sistema linearizzato, due controllori PI disaccoppiati per ciascun sistema. Infine si verificherà il funzionamento dei controllori sul sistema originale.

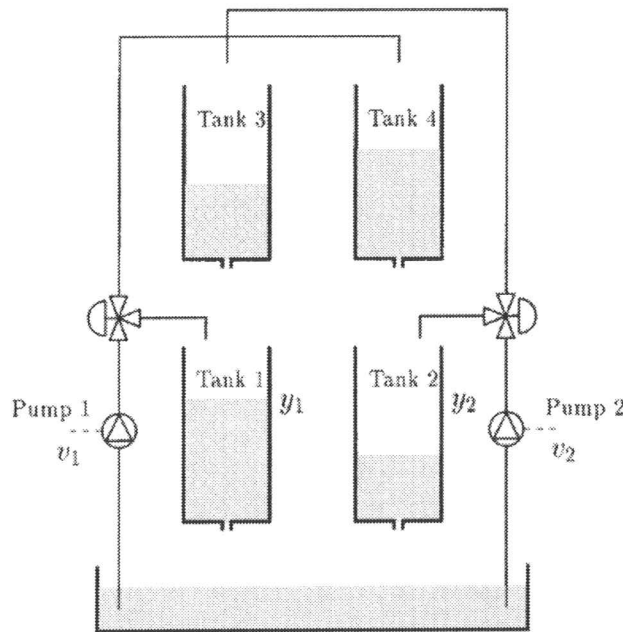


Figura 1: Processo Quadruple Tank

1.2 Valore dei parametri

Si riportano in seguito i valori forniti dal testo del problema.

$$\begin{aligned} A_1 = A_3 &= 28 \text{ cm}^2 & A_2 = A_4 &= 32 \text{ cm}^2 \\ a_1 = a_3 &= 0.071 \text{ cm}^2 & a_2 = a_4 &= 0.057 \text{ cm}^2 \\ kc &= 0.50 \text{ V/cm} \\ g &= 981 \text{ cm/s}^2 \end{aligned}$$

$$\begin{aligned} (v_1, v_2)^- &= (3.00, 3.00), & (\gamma_1, \gamma_2)^- &= (0.7, 0.6) & (k_1, k_2)^- &= (3.33, 3.35) \\ (v_1, v_2)^+ &= (3.15, 3.15), & (\gamma_1, \gamma_2)^+ &= (0.43, 0.34) & (k_1, k_2)^+ &= (3.14, 3.29) \end{aligned}$$

La differenza sostanziale tra i due punti di equilibrio è la frazione di liquido che va nei serbatoi inferiori, determinata dai parametri (γ_1, γ_2) . Per il primo punto la maggior parte del liquido finisce nei serbatoi 1 e 2, mentre nel secondo punto la maggior parte del liquido va nei due serbatoi superiori.

2 Dinamica del sistema

Per il principio di conservazione della massa la variazione della quantità di fluido nella vasca i -esima è data dalla differenza tra il flusso entrante e quello uscente. I serbatoi hanno sezione costante pertanto, come indice della quantità di liquido presente in essi, si può utilizzare il valore h_i , che è una quantità direttamente misurabile per i soli due serbatoi inferiori.

Il flusso entrante nei due serbatoi superiori è dato da:

$$\phi_i^{in} = \gamma_i k_i v_i$$

Il foro di ciascun serbatoio è di dimensione molto più piccola rispetto alla sezione del rispettivo serbatoio. Si ipotizza che il fluido sia ideale, ovvero incompressibile e con coefficiente di viscosità nullo. È pertanto possibile utilizzare il teorema di Torricelli, che è un'applicazione dell'equazione di Bernoulli. Il teorema fornisce una formula per il calcolo della velocità di uscita di un liquido di altezza h_i da un foro:

$$v_i = \sqrt{2gh_i}$$

Il flusso uscente dai serbatoi perciò è dato da:

$$\phi_i^{out} = a_i v_i = a_i \sqrt{2gh_i}$$

Per il principio di conservazione della massa si possono quindi scrivere le equazioni del sistema:

$$\begin{cases} A_1 \dot{h}_1 = \gamma_1 k_1 v_1 + \sqrt{2gh_3} a_3 - \sqrt{2gh_1} a_1 \\ A_2 \dot{h}_2 = \gamma_2 k_2 v_2 + \sqrt{2gh_4} a_4 - \sqrt{2gh_2} a_2 \\ A_3 \dot{h}_3 = (1 - \gamma_2) k_2 v_2 - \sqrt{2gh_3} a_3 \\ A_4 \dot{h}_4 = (1 - \gamma_1) k_1 v_1 - \sqrt{2gh_4} a_4 \end{cases}$$

dove con \dot{h}_i si indica la derivata temporale di h_i .

Dividendo ciascuna equazione per A_i si ha:

$$\begin{cases} \dot{h}_1 = \frac{\gamma_1 k_1}{A_1} v_1 + \frac{\sqrt{2gh_3}}{A_1} a_3 - \frac{\sqrt{2gh_1}}{A_1} a_1 \\ \dot{h}_2 = \frac{\gamma_2 k_2}{A_2} v_2 + \frac{\sqrt{2gh_4}}{A_2} a_4 - \frac{\sqrt{2gh_2}}{A_2} a_2 \\ \dot{h}_3 = \frac{(1-\gamma_2)k_2}{A_3} v_2 - \frac{\sqrt{2gh_3}}{A_3} a_3 \\ \dot{h}_4 = \frac{(1-\gamma_1)k_1}{A_4} v_1 - \frac{\sqrt{2gh_4}}{A_4} a_4 \end{cases} \quad (1)$$

che è il sistema che descrive la dinamica del processo.

3 Stati di equilibrio

Note le tensioni v_i e i parametri corrispondenti a due stati di equilibrio del sistema, e ponendo $\dot{h}_i = 0$, si calcolano i seguenti punti di equilibrio:

$$\mathbf{h}_-^* = \begin{bmatrix} 12.26 \\ 12.78 \\ 1.63 \\ 1.41 \end{bmatrix}, \quad \mathbf{h}_+^* = \begin{bmatrix} 12.44 \\ 13.17 \\ 4.73 \\ 4.99 \end{bmatrix}$$

Il sistema (1) è stato implementato in una funzione Matlab chiamata `qTank.m` (dove i parametri γ_i e k_i sono quelli relativi a H^+) e nella funzione `qTank_ .m` relativamente a H_- . La funzione, riportata in appendice (A.2), è stata utilizzata per simulare il sistema non linearizzato in Simulink attraverso lo schema di figura (2). Come ingressi si sono presi i valori costanti delle

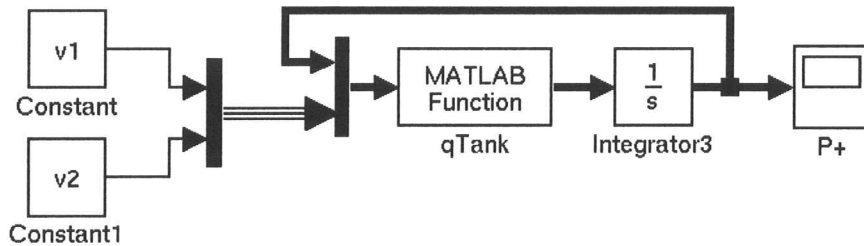


Figura 2: Schema per la simulazione del sistema non lineare

tensioni di alimentazione delle pompe relative ai due punti di equilibrio. Nell'integratore di figura (2) è possibile definire le condizioni iniziali del sistema, ovvero il livello del liquido in ciascun serbatoio all'istante iniziale. Eseguendo la simulazione con diverse condizioni iniziali, si vede che il sistema va a regime ai valori calcolati algebricamente, in un tempo dell'ordine di 400 secondi. Si ha in questo modo una prova empirica della stabilità dei due punti di equilibrio. Si veda un esempio di simulazione in figura (3).

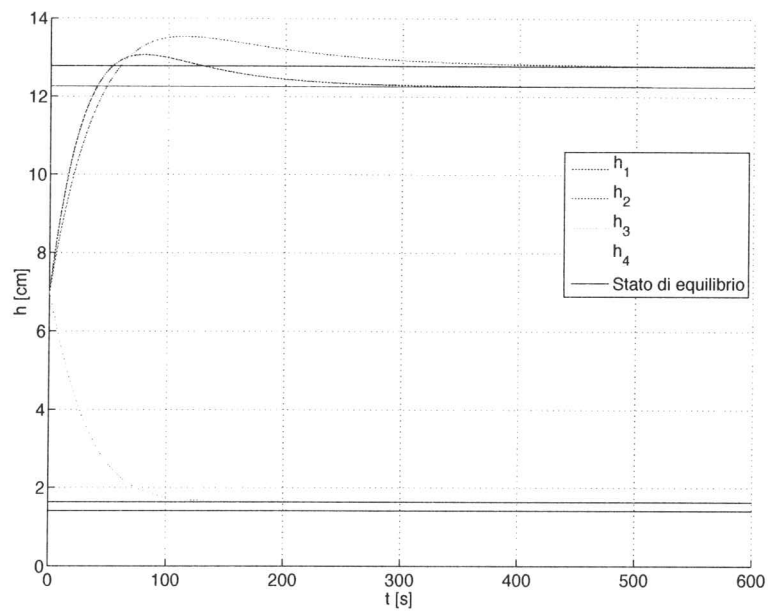


Figura 3: Simulazione del sistema non lineare con parametri relativi al punto H_- e con stato iniziale $\mathbf{h} = [7 \ 7 \ 7 \ 7]'$

4 Linearizzazione del sistema

Si prosegue con la linearizzazione del sistema attorno ai due punti di equilibrio calcolati nel paragrafo precedente.

Il sistema (1) è della forma:

$$\dot{\mathbf{h}} = f(\mathbf{h}, \mathbf{v})$$

Definendo $x_i = h_i - h_i^*$ e $u_i = v_i - v_i^*$ esso si può approssimare, nell'intorno di un suo punto di equilibrio, con il sistema lineare:

$$\dot{\mathbf{x}} = f(\mathbf{h}^*, \mathbf{v}^*) + \left. \frac{\partial f}{\partial \mathbf{h}} \right|_{\mathbf{h}=\mathbf{h}^*, \mathbf{v}=\mathbf{v}^*} \mathbf{x} + \left. \frac{\partial f}{\partial \mathbf{v}} \right|_{\mathbf{h}=\mathbf{h}^*, \mathbf{v}=\mathbf{v}^*} \mathbf{u}$$

dove $\dot{\mathbf{x}} = f(\mathbf{h}^*, \mathbf{v}^*) = 0$ perchè è un punto di equilibrio.

Si trova allora il seguente sistema lineare in forma di stato:

$$\begin{aligned} \dot{\mathbf{x}} = & \begin{bmatrix} -\frac{a_1}{A_1} \sqrt{\frac{g}{2h_1^*}} & 0 & \frac{a_3}{A_1} \sqrt{\frac{g}{2h_3^*}} & 0 \\ 0 & -\frac{a_2}{A_2} \sqrt{\frac{g}{2h_2^*}} & 0 & \frac{a_4}{A_2} \sqrt{\frac{g}{2h_4^*}} \\ 0 & 0 & -\frac{a_3}{A_3} \sqrt{\frac{g}{2h_3^*}} & 0 \\ 0 & 0 & 0 & -\frac{a_4}{A_4} \sqrt{\frac{g}{2h_4^*}} \end{bmatrix} \mathbf{x} \\ & + \begin{bmatrix} \frac{\gamma_1 k_1}{A_1} & 0 \\ 0 & \frac{\gamma_2 k_2}{A_2} \\ 0 & \frac{(1-\gamma_2)k_2}{A_3} \\ \frac{(1-\gamma_1)k_1}{A_4} & 0 \end{bmatrix} \mathbf{u} \\ \mathbf{y} = & \begin{bmatrix} k_c & 0 & 0 & 0 \\ 0 & k_c & 0 & 0 \end{bmatrix} \mathbf{x} \end{aligned} \quad (2)$$

La matrice di trasferimento del sistema (2) è data dalla formula:

$$G(s) = H(sI - F)^{-1}G$$

che per il punto H_- risulta:

$$G^-(s) = \begin{bmatrix} \frac{0.0416}{s+0.0160} & \frac{0.00105}{s^2+0.0600s+0.000705} \\ \frac{0.000519}{s^2+0.0443s+0.000367} & \frac{0.0314}{s+0.0110} \end{bmatrix} \quad \text{zeri} = \begin{bmatrix} -0.0597 \\ -0.0110 \\ -0.0175 \\ -0.0160 \end{bmatrix}$$

e per il punto H^+ :

$$G^+(s) = \begin{bmatrix} \frac{0.0241}{s+0.0159} & \frac{0.00100}{s^2+0.0417s+0.000411} \\ \frac{0.000494}{s^2+0.0285s+0.000192} & \frac{0.0175}{s+0.0109} \end{bmatrix} \quad \text{zeri} = \begin{bmatrix} -0.0562 \\ 0.0128 \\ -0.0159 \\ -0.0109 \end{bmatrix}$$

G^+ ha un zero instabile 0.0128

Dalla matrice di trasferimento $G(s)$ si ricavano i poli del sistema tramite il comando Matlab `pole()`, che nel caso multivariabile calcola i poli di $\det(G(s))$. Le costanti di tempo sono legate ai poli dalla relazione:

$$T_i = -\frac{1}{p_i}$$

Risulta:

$$\begin{array}{ll} T_1^- = 62.4 & T_1^+ = 62.8 \\ T_2^- = 30.1 & T_2^+ = 56.6 \\ T_3^- = 90.6 & T_3^+ = 92.0 \\ T_4^- = 22.8 & T_4^+ = 38.7 \end{array}$$

Allo stesso risultato si poteva giungere calcolando gli autovalori della matrice F , che coincidono con i poli della funzione di trasferimento.

Le costanti di tempo sono tutte positive, pertanto si ha la conferma della stabilità asintotica dei due punti di equilibrio, sia per il sistema lineare, sia (per il criterio ridotto di Lyapunov) per il sistema non lineare. Si sono calcolati anche gli zeri delle due funzioni di trasferimento attraverso il comando Matlab `zero()` che funziona nel caso multivariabile come il comando `pole()`. Per il punto H_- gli zeri sono tutti reali negativi e la matrice inversa di $G(s)$ è ancora stabile. Per il punto H^+ si trova uno zero reale positivo, pertanto il secondo sistema non è a fase minima e la matrice inversa è instabile. Si vedrà nel seguito della relazione che questa proprietà pone dei limiti nelle prestazioni del sistema controllato in catena chiusa, e inoltre complica la scelta dei parametri per il controllore PI.

5 Simulazioni

Le simulazioni sono state fatte tramite il modello Simulink di figura (4). Da questo paragrafo per le simulazioni si considera il sistema a condizioni iniziali nulle.

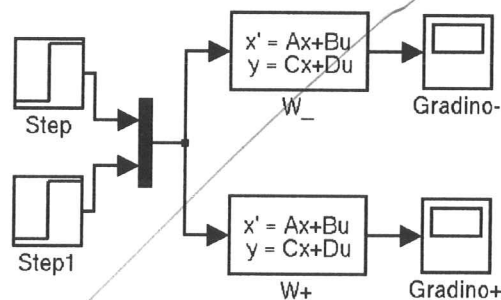


Figura 4: Schema per la simulazione del sistema lineare

Nota che

$$G^+(0.0128) = \begin{bmatrix} 0.8407 & 0.9049 \\ 0.6872 & 0.7396 \end{bmatrix}$$

e che se $v = \begin{bmatrix} -0.7326 \\ 0.6806 \end{bmatrix}$

Allora $G^+(0.0128)v = 0$

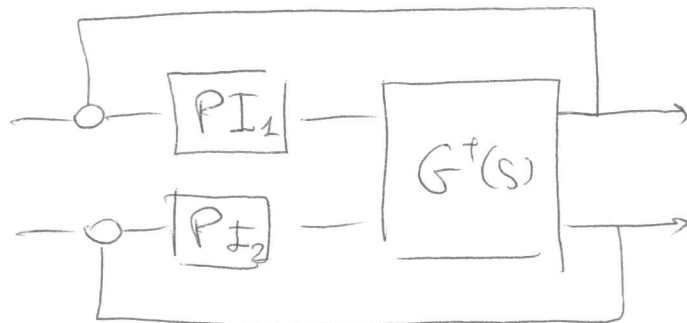
Se applichiamo un impulso

$u(t) = v f^{(-1)}(t)$ dove $f^{(-1)}(t)$ è l'impulso
a freccia

si notano gli effetti tipici dello zero a
fase non minimo cioè la retroazione

Cerchiamo ora un controllo per $G^+(s)$.

Un primo schema che si prova è quello
decentralizzato



Dopo numerosi tentativi si hanno i seguenti regolatori PI

$$K_{P1}^+ = 4.5$$

$$K_{P2}^+ = -0.1$$

$$PI_1(s) = 4.5 + \frac{0.09}{s}$$

$$K_{I1}^+ = 0.09$$

$$K_{I2}^+ = -0.001$$

$$PI_2(s) = -0.1 - \frac{0.001}{s}$$

Concludiamo ora un controllo di disaccoppiamento
per i ingressi e le uscite

Se prendiamo

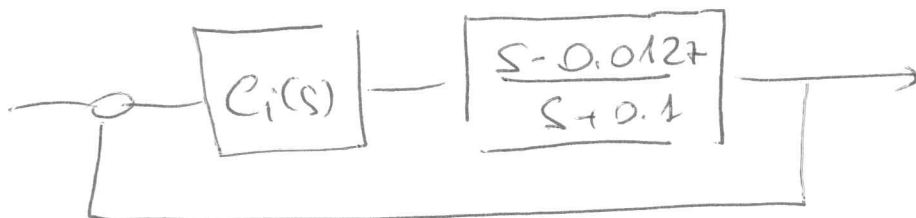
$$K(s) = G^{+1}(s) \bar{G}(s)$$

dove $\bar{G}(s) = \begin{bmatrix} \frac{s-0.0127}{s+0.1} & 0 \\ 0 & \frac{s-0.0127}{s+0.1} \end{bmatrix}$

otteniamo che

$$G^{+1}(s) K(s) = \bar{G}(s) \quad \text{diagonale}$$

Quindi basterà trovare un controller $C_1(s)$ $C_2(s)$
scelto in grado di controllare



Con pochi tentativi (usando il luogo delle
radici) si trova che $C_i(s) = \frac{k_i}{s}$ con

$$k_i = -0.04$$

Stabilisce il sistema. Possiamo quindi
prenderne come controller

$$C(s) = K(s)C(s) = G^{+1}(s) \bar{G}(s) C(s) \text{ è del III ordine}$$

cioè denominatore è di terzo grado

Luego de

$$\frac{k(s - 0.012)}{s(s + 0.1)}$$

